

کاربرد روش گیبس-اپل بازگشتی در استخراج معادلات حرکت ربات با مفاصل دورانی-کشویی

محرم حبیب نژاد کورایم^{۱*}، علی محمد شافعی^۲

۱- استاد مهندسی مکانیک، دانشگاه علم و صنعت ایران، تهران
۲- دانشجوی دکتری مهندسی مکانیک، دانشگاه علم و صنعت ایران، تهران
* تهران، صندوق پستی ۱۶۸۴۶۱۳۱۱۴ hkorayem@iust.ac.ir

چکیده- در این مقاله یک روش سیستماتیک جدید برای استخراج معادلات حرکت ربات با n لینک صلب که دارای مفاصل دورانی-کشویی میباشند، ارائه میشود. معادلات حرکت برای این سیستم ریاتیکی بر اساس فرمولاسیون گیبس-اپل استخراج شده است. در تمامی محاسبات صورت گرفته تنها از ماتریس های 3×3 و یا بردارهای 1×3 استفاده شده است. همچنین تمام عبارات دینامیکی یک بازو در سیستم مختصات مرجع محلی همان بازو بیان شده است. بر اساس فرمولاسیون استخراجی الگوریتمی ارائه شده است که بهطور بازگشتی و سیستماتیک به استخراج معادلات حرکت ربات مذکور میپردازد. در پایان بهمنظور نشان دادن توانایی این الگوریتم در استخراج و حل سیستمها با درجات آزادی بالا، یک منیپولاتور که دارای سه مفصل دورانی-کشویی میباشد، مورد تحلیل دینامیکی قرار میگیرد.

کلیدواژگان: ربات، گیبس-اپل، بازگشتی، دورانی-کشویی.

Application of recursive Gibbs-Appell formulation in deriving the motion equation of revolute-prismatic joints

M. H. Korayem^{1*}, A. M. Shafei²

1- Prof. of Mech. Eng., Iran Univ. of Science and Tech., Tehran, Iran
2- PhD Student of Mech. Eng., Iran Univ. of Science and Tech., Tehran, Iran
* P.O.B. 1684613114, Tehran, Iran. hkorayem@iust.ac.ir

Abstract- In this paper a new systematic method for deriving the equation of motion of n -rigid robotic manipulators with revolute-prismatic joints is considered. The equation of motion for this robotic system is obtained based on Gibbs-Appell formulation. All the mathematical operations are done by only 3×3 and 3×1 matrices. Also, all dynamic characteristics of a link are expressed in the same link local coordinate system. Based on the developed formulation, an algorithm is proposed that recursively and systematically derives the equation of motion. Finally, a computational simulation for a manipulator with three revolute-prismatic joints is presented to show the ability of this algorithm in deriving and solving high degree of freedom of robotic system.

Keywords: Robot, Gibbs-Appell, Recursive, Revolute-Prismatic.

۱- مقدمه

ربات‌ها با مفاصل دورانی می‌باشد. تحقیقاتی که در داخل کشور در زمینه استفاده از فرمولاسیون گیبس-اپل صورت گرفته است در کارهای وثوقی و همکارانش دیده می‌شود که در آن ربات‌های شبه مار با استفاده از این فرمولاسیون مورد بررسی قرار گرفتند [۱۱]. همچنین می‌توان به کارهای کورایم و شافعی اشاره کرد که در آن معادلات دینامیک مستقیم و معکوس ربات با n لینک الاستیک که در آن تمامی مفاصل دورانی بودند، مورد تحلیل قرار گرفت [۱۲، ۱۳]. ظهور و همکارانش یک روش برای حل مسائل با قیود مرتبه بالای غیرهولونومیک بر پایه فرمولاسیون گیبس-اپل ارائه کردند [۱۴]. در پایان به مقاله اسماعیل‌زاده خادم و پیرمحمدی می‌توان اشاره کرد که در آن یک زنجیره از n لینک الاستیک که دارای مفاصل دورانی-کشویی بودند با استفاده از فرمولاسیون گیبس-اپل مورد تحلیل دینامیکی قرار گرفت [۱۵]، ولی روش آنها نیز تنها برای تعداد محدود بازوها قابل پیاده‌سازی بود.

همان‌گونه که پیشتر نیز بیان شد، این مقاله به استخراج سیستماتیک و خودکار معادلات حرکت ربات با مفاصل دورانی-کشویی با استفاده از فرمولاسیون بازگشتی گیبس-اپل می‌پردازد. بنابراین در ادامه ساختار مقاله به شکل زیر خواهد بود. در بخش دوم سینماتیک مسئله توضیح داده می‌شود. بخش سوم به استخراجتابع گیبس و مشتقات آن می‌پردازد. معادلات دینامیک معکوس و مستقیم به ترتیب در بخش‌های چهارم و پنجم ارائه می‌گردد. بخش ششم الگوریتمی بازگشتی بهمنظور استخراج خودکار و سیستماتیک معادلات حرکت بر اساس فرمولاسیون بسط داده شده در مراحل قبل ارائه می‌دهد. یک شبیه‌سازی عددی در بخش هفتم بهمنظور نشان دادن توانایی این روش در استخراج معادلات حرکت ربات‌ها با درجات آزادی بالا ارائه شده است. در پایان در بخش هشتم نتیجه‌گیری و مزایای این روش بیان گردیده است.

۲- سینماتیک ربات با مفاصل دورانی-کشویی

در این بخش سینماتیک یک زنجیره از n لینک صلب که بوسیله مفاصل دورانی-کشویی بهم متصل شده‌اند، مورد بررسی قرار می‌گیرد. طبق قاعده زیر به هر لینک یک دستگاه مختصات اختصاص می‌یابد. $X_0Y_0Z_0$ ، چارچوب متصل به پایه

استخراج معادلات حرکت ربات‌ها بهمنظور شبیه‌سازی دینامیکی و طراحی سیستم کنترل امری اجتناب‌ناپذیر است. این امر برای منیپولاتورها با تعداد محدود بازو، معمولاً به صورت دستی انجام می‌گیرد. ولی با افزایش تعداد لینک‌ها و افزایش درجات آزادی سیستم، استخراج معادلات حرکت حتی به کمک نرم افزارهای سمبولیک به کاری طاقت فرسا تبدیل می‌شود که علاوه بر افزایش احتمال خطای انسانی، زمان زیادی را از تحلیل کننده صرف می‌کند.

امروزه روش‌های سیستماتیک و بازگشتی بسیاری برای استخراج معادلات حرکت منیپولاتورها وجود دارد. اولین الگوریتم بازگشتی با بازده بالا بهمنظور حل مسئله دینامیک حرکت ربات‌های چند بازویی توسط لو و همکارانش ارائه گردید [۱]. این الگوریتم بر پایه فرمولاسیون نیوتن-اویلر استوار بود. محققان دیگری به دنبال حل مسئله دینامیک حرکت منیپولاتورها با استفاده از الگوریتم‌های بازگشتی به کمک دیگر اصول دینامیکی بودند. به عنوان مثال هولرباخ با استفاده از فرمولاسیون لاگرانژ-اویلر به حل این مسئله پرداخت [۲]. کین و لوینسون [۳] و آنجلس [۴] با استفاده از فرمولاسیون کین مسئله استخراج معادلات حرکت دینامیک منیپولاتورها را حل کردند. ولی در تمامی موارد فوق الذکر مفاصل منیپولاتورها تنها دارای حرکت دورانی بودند.

معادلات گیبس-اپل یکی از اصولی است که از آن در حل دینامیک ربات‌ها بسیار کم استفاده شده است [۵]. در زمینه ربات با لینک صلب پوپو با استفاده از اصل گیبس-اپل روشی را ارائه کرد که بعدها توسط کوبراتوویچ و پوتکنچاک برای بهبود یک عبارت به شکل بسته با پیچیدگی محاسباتی بالا مورد استفاده قرار گرفت [۶]. دزویر و لاگنر یک فرمولاسیون بازگشتی از مرتبه (n^2) برای حل مسئله دینامیک معکوس با استفاده از ماتریس ژاکوبین ارائه کردند [۷]. ورشچاگین روش دیگری را ارائه کرد که در آن معادلات حرکت ربات‌ها از اصول گاؤس و تابع گیبس استخراج می‌شوند [۸]. این روش بعدها توسط روداس و تو برای حل مسئله دینامیک معکوس ربات‌ها مورد استفاده قرار گرفت [۹]. ماتا یک فرمولاسیون بازگشتی برای حل مسئله دینامیک معکوس ربات‌های صلب ارائه کرده است [۱۰]. ولی روش ایشان و همکارانش تنها محدود به

$$\begin{aligned} {}^i\ddot{\vec{r}}_Q &= {}^i\ddot{\vec{r}}_{O_i} + {}^i\ddot{\vec{r}}_{Q/O_i} + 2{}^i\vec{\omega}_i \times {}^i\dot{\vec{r}}_{Q/O_i} \\ &+ {}^i\dot{\vec{\omega}}_i \times {}^i\vec{r}_{Q/O_i} + {}^i\vec{\omega}_i \times \left({}^i\vec{\omega}_i \times {}^i\vec{r}_{Q/O_i} \right) \end{aligned} \quad (4)$$

که در آن ${}^i\ddot{\vec{r}}_{O_i}$ شتاب مطلق مبدأ مختصات دستگاه متصل به مفصل i ، ${}^i\vec{\omega}_i$ و ${}^i\dot{\vec{\omega}}_i$ به ترتیب سرعت زاویه‌ای و شتاب زاویه‌ای رابط i اند، ${}^i\vec{r}_{Q/O_i}$ و ${}^i\ddot{\vec{r}}_{Q/O_i}$ به ترتیب سرعت و شتاب المان دیفرانسیلی Q نسبت به مبدأ مختصات دستگاه متصل به مفصل i اند می‌باشند. دو ترم آخر به صورت رابطه‌های (۵) و (۶) ارائه می‌شوند.

$${}^i\dot{\vec{r}}_{Q/O_i} = \dot{\eta}_i {}^i\vec{x}_i \quad (5)$$

$${}^i\ddot{\vec{r}}_{Q/O_i} = \ddot{\eta}_i {}^i\vec{x}_i \quad (6)$$

در بخش بعد معادله (۴) به منظور تشکیل انرژی شتاب سیستم (تابع گیبس) مورد استفاده قرار می‌گیرد.

۳- انرژی شتاب سیستم و مشتقهای آن

در این بخش انرژی شتاب سیستم به منظور استفاده در معادلات گیبس-اپل بسط داده می‌شود. برای محاسبه تابع گیبس سیستم، در ابتدا انرژی شتاب برای یک المان دیفرانسیلی دلخواه بر روی رابط i اند نوشته می‌شود. سپس انتگرال گیری از این انرژی شتاب دیفرانسیلی بر روی تمام طول لینک، کل انرژی شتاب مربوط به آن رابط را ایجاد می‌کند.

با جمع کردن انرژی شتاب تک تک رابطه‌ها، انرژی شتاب کل سیستم بدست خواهد آمد (رابطه ۷):

$$\begin{aligned} S &= \sum_{i=1}^n \int_{(L_i - l_i)}^{l_i} \frac{1}{2} \mu_i(\eta) \left({}^i\ddot{\vec{r}}_Q^T \cdot {}^i\ddot{\vec{r}}_Q \right) d\eta \\ &+ \sum_{i=1}^n \int_{(L_i - l_i)}^{l_i} \frac{1}{2} {}^i\dot{\vec{\omega}}_i^T \cdot J_i(\eta) {}^i\dot{\vec{\omega}}_i d\eta \end{aligned} \quad (7)$$

که در آن L_i طول کل رابط i اند، l_i آن بخش از طول لینک i از مبدأ O_i به سمت مبدأ O_{i+1} و $\mu_i(\eta)$ و $J_i(\eta)$ به ترتیب جرم واحد طول و ممان اینرسی جرمی بر واحد طول برای بازوی i اند.

با وارد کردن معادله (۴) در رابطه (۷) رابطه ۸ برای انرژی شتاب کل سیستم بدست خواهد آمد:

$$\begin{aligned} S &= \sum_{i=1}^n \frac{1}{2} B_{0i} {}^i\ddot{\vec{r}}_{O_i}^T \cdot {}^i\ddot{\vec{r}}_{O_i} + {}^i\ddot{\vec{r}}_{O_i}^T \cdot {}^i\vec{B}_{1i} - 2 {}^i\ddot{\vec{r}}_{O_i}^T \cdot B_{2i} {}^i\vec{\omega}_i \\ &- {}^i\ddot{\vec{r}}_{O_i}^T \cdot B_{3i} {}^i\dot{\vec{\omega}}_i - {}^i\ddot{\vec{r}}_{O_i}^T \cdot {}^i\tilde{\vec{\omega}}_i B_{3i} {}^i\vec{\omega}_i + \frac{1}{2} B_{4i} \\ &- {}^i\vec{\omega}_i^T \cdot B_{5i} {}^i\vec{\omega}_i + 2 {}^i\dot{\vec{\omega}}_i^T \cdot B_{6i} {}^i\vec{\omega}_i + {}^i\dot{\vec{\omega}}_i^T \cdot {}^i\tilde{\vec{\omega}}_i B_{7i} {}^i\vec{\omega}_i \end{aligned}$$

ربات است که در سینماتیک بازوی رباتیک می‌توان آن را چارچوب مرجع در نظر گرفت. دستگاه x_i, y_i, z_i دستگاه مختصات متعلق به لینک i اند را به گونه‌ای تعریف می‌کنیم که مبدأ آن چسبیده بر روی i امین مفصل دورانی-کشویی، محور x_i در امتداد طول رابط i ام از مبدأ مختصات O_i به سمت مبدأ مختصات O_{i+1} و محور z_i آن به عنوان محور دوران i امین لینک در نظر گرفته شود.

با استفاده از ماتریس دوران R_i هر بردار دلخواه \vec{a} را می‌توان در دستگاه j به طریق (۱) ارائه کرد.

$${}^j\vec{a} = {}^jR_i {}^i\vec{a} \quad (1)$$

jR_i به فرم بازگشتی به طریق (۲) ارائه می‌شود.

$${}^jR_i = {}^jR_{i-1} {}^iA_i \quad (2)$$

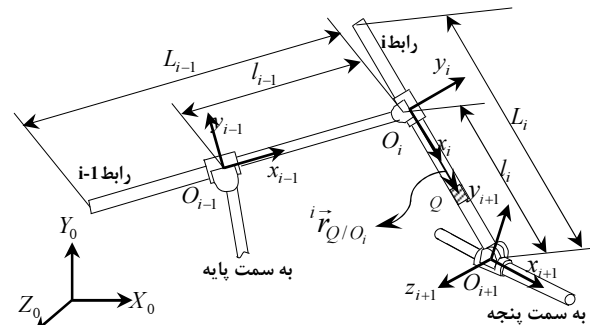
در رابطه بالا A_i همان ماتریس دوران مفاصل است که $x_{i-1}, y_{i-1}, z_{i-1}$ را نسبت به دستگاه x_i, y_i, z_i نشان می‌دهد. درایه‌های این ماتریس تنها تابعی از q_i می‌باشند که در آن q_i مختصات تعیین یافته مربوط به i امین مفصل می‌باشد.

در شکل ۱ المان دیفرانسیلی Q بر روی i امین بازو نشان داده شده است. موقعیت این المان دیفرانسیلی نسبت به دستگاه مختصات مرجع محلی رابط i ام توسط بردار ${}^i\vec{r}_{Q/O_i}$ بیان می‌شود.

$${}^i\vec{r}_{Q/O_i} = \eta_i {}^i\vec{x}_i \quad (3)$$

که در آن $\{1 \ 0 \ 0\}^T$ و η_i فاصله میان مبدأ O_i و المان دیفرانسیلی Q می‌باشد.

شتاب مطلق المان دیفرانسیلی Q که در دستگاه مختصات رابط i ام تعریف شده است، به شکل رابطه (۴) ارائه می‌شود.



شکل ۱ ربات با مفاصل دورانی-کشویی

در حالی که مشتق جزئی تابع گیبس نسبت به $\dot{\eta}_j$ نتیجه زیر را در بر خواهد داشت:

$$\frac{\partial S}{\partial \dot{\eta}_j} = \sum_{i=j+1}^n \frac{\partial' \ddot{r}_{O_i}^T}{\partial \dot{\eta}_j} \cdot \left(B_{0i} \dot{r}_{O_i}^T + \dot{B}_{li} - 2B_{2i} \dot{\omega}_i - B_{3i} \dot{\omega}_i - i \tilde{\omega}_i B_{3i} \dot{\omega}_i \right) + \dot{r}_{O_j}^T \cdot B_{0j} \dot{x}_j + B_{0j} \dot{\eta}_j - \dot{\omega}_j^T \cdot B_{3j} \dot{x}_j^T \dot{\omega}_j \quad (19)$$

در اینجا باید به این نکته اشاره شود که در معادلات بالا از این خاصیت ماتریس‌های پاد متقارن که $a^T = -a$, استفاده شده است.

۴- معادلات دینامیک معکوس با استفاده از فرمولاسیون گیبس-اپل

معادلات سیستم رباتیکی مذکور با در نظر گرفتن نیروهای تعیین یافته مربوط به گرانش زمین و نیروهای خارجی باقی‌مانده کامل می‌شود. تأثیر بارگذاری گرانی بر رابطها را می‌توان به سادگی با قرار دادن $\ddot{r}_{O_0} = g^0 \dot{y}_0$ در نظر گرفت، که در آن g بردار گرانی است. در این صورت می‌توان فرض نمود که پایه ربات با شتاب $1g$ به سوی بالا حرکت می‌کند. بنابراین تنها نیروهای خارجی اعمالی به این سیستم دینامیکی گشتوار τ و نیروی F_j می‌باشند که بهترتیب به زامین مفصل دورانی و زامین مفصل کشویی اعمال می‌شوند. با این فرض، نیروهای تعیین یافته مربوط به k امین شبه سرعت به طریق زیر محاسبه می‌شود:

$$U_k = \sum_{i=1}^n \dot{q}_i^k \tau_i + \sum_{i=1}^n \dot{\eta}_i^k F_i \quad (20)$$

$$k = \dot{q}_1, \dot{q}_2, \dots, \dot{q}_n, \dot{\eta}_1, \dot{\eta}_2, \dots, \dot{\eta}_n$$

که در آن U_k مشتق‌گیری نسبت به k امین شبه سرعت را نشان می‌دهد. اکنون معادلات حرکت ربات با مفاصل دورانی-کشویی با استفاده از فرمولاسیون گیبس-اپل به طریق زیر کامل می‌شود.

- معادله حرکت مربوط به j امین مفصل دورانی

$$\frac{\partial S}{\partial \ddot{q}_j} = \tau_j \quad j = 1, 2, \dots, n \quad (21)$$

- معادله حرکت مربوط به j امین مفصل کشویی

$$\frac{\partial S}{\partial \ddot{\eta}_j} = F_j \quad j = 1, 2, \dots, n \quad (22)$$

معادلات بالا به فرم دینامیک معکوس می‌باشند. در این نوع دینامیک با دانستن یک حالت مشخص از پیکربندی ربات

$$+ \frac{1}{2} \dot{\omega}_i^T \cdot (B_{7i} + B_{8i}) \dot{\omega}_i \quad (8)$$

که در آن:

$$B_{0i} = \int_{(L_i - l_i)}^{l_i} \mu_i d\eta_i \quad (9)$$

$${}^i \vec{B}_{li} = B_{0i} \dot{\eta}_i {}^i \vec{x}_i \quad (10)$$

$$B_{2i} = B_{0i} \dot{\eta}_i {}^i \vec{x}_i \quad (11)$$

$$B_{3i} = \int_{(L_i - l_i)}^{l_i} \mu_i \eta_i {}^i \vec{x}_i d\eta_i \quad (12)$$

$$B_{4i} = B_{0i} \ddot{\eta}_i^2 \quad (13)$$

$$B_{5i} = B_{3i} \dot{\eta}_i {}^i \vec{x}_i^T \quad (14)$$

$$B_{6i} = B_{3i} \dot{\eta}_i {}^i \vec{x}_i^T \quad (15)$$

$$B_{7i} = \int_{(L_i - l_i)}^{l_i} \mu_i \eta_i^2 {}^i \vec{x}_i {}^i \vec{x}_i^T d\eta_i \quad (16)$$

$$B_{8i} = \int_{(L_i - l_i)}^{l_i} J_i d\eta_i \quad (17)$$

همچنین ${}^i \tilde{x}_i$ و $\tilde{\omega}_i$ بهترتیب ماتریس‌های پاد متقارن مربوط به بردارهای ${}^i \vec{x}_i$ و $\dot{\omega}_i$ می‌باشند. در معادله (8) جمله‌ای تحت عنوان ترم‌های نامریوط وجود دارد. از آنجا که برای تشکیل معادلات حرکت بایستی مشتق جزئی تابع گیبس نسبت به شبه شتاب‌ها محاسبه گردد، لذا در انرژی شتاب می‌توان از ترم‌هایی که شامل شبه شتاب‌ها نیستند، صرف‌نظر کرد.

۳-۱- مشتقات تابع گیبس نسبت به شبه شتاب‌ها

همان‌گونه که در بالا نیز اشاره شد، یک بخش از معادلات دینامیکی سیستم‌های رباتیکی با استفاده از فرمولاسیون گیبس-اپل با مشتق جزئی گرفتن از تابع گیبس نسبت به شبه شتاب‌ها بدست خواهد آمد. بنابراین یک دسته شبه سرعت مستقل بایستی انتخاب شود. در این مقاله سرعت زاویه‌ای رابطها یعنی \dot{q}_i و سرعت خطی آنها یعنی $\dot{\eta}_j$ به عنوان شبه سرعت‌های مستقل انتخاب می‌شود.

مشتق جزئی تابع گیبس نسبت به \dot{q}_j نتیجه می‌دهد:

$$\frac{\partial S}{\partial \ddot{q}_j} = \sum_{i=j+1}^n \frac{\partial' \ddot{r}_{O_i}^T}{\partial \ddot{q}_j} \cdot \left(B_{0i} {}^i \ddot{r}_{O_i}^T + {}^i \vec{B}_{li} - 2B_{2i} {}^i \dot{\omega}_i - B_{3i} {}^i \dot{\omega}_i - i \tilde{\omega}_i B_{3i} {}^i \dot{\omega}_i \right) + \sum_{i=j}^n \frac{\partial' \ddot{q}_i^T}{\partial \ddot{q}_j} \cdot \left(B_{3i} {}^i \ddot{r}_{O_i}^T + 2B_{6i} {}^i \dot{\omega}_i + (B_{7i} + B_{8i}) {}^i \dot{\omega}_i + i \tilde{\omega}_i B_{7i} {}^i \dot{\omega}_i \right) \quad (18)$$

که در آن $\ddot{\vec{r}}_{O_{s,i}}$ و $\dot{\vec{\omega}}_{s,i}$ نماینده آن دسته از ترم‌های تشکیل دهنده $\ddot{\vec{r}}_O$ و $\dot{\vec{\omega}}_i$ هستند که حاوی مشتق دوم متغیرهای دورانی و متغیرهای کشوبی می‌باشند؛ در حالی که $\ddot{\vec{r}}_{O_{v,i}}$ و $\dot{\vec{\omega}}_{v,i}$ آن بخش از جملات مربوط به $\ddot{\vec{r}}_O$ و $\dot{\vec{\omega}}_i$ هستند که \ddot{q}_j و \dot{q}_j را به عنوان شبه شتابها شامل نمی‌شوند. این جملات به صورت زیر ارائه می‌شوند:

$$\ddot{\vec{r}}_{O_{s,i}} = \sum_{k=1}^{i-1} {}^i R_k \left({}^k \ddot{\vec{r}}_{O_{k+1}/O_k} + {}^k \dot{\vec{\omega}}_{s,k} \times {}^k \vec{r}_{O_{k+1}/O_k} \right) \quad (28)$$

$$\begin{aligned} \ddot{\vec{r}}_{O_{v,i}} &= \sum_{k=1}^{i-1} {}^i R_k \left({}^k \dot{\vec{\omega}}_{v,k} \times {}^k \vec{r}_{O_{k+1}/O_k} \right. \\ &\quad \left. + {}^k \vec{\omega}_k \times \left(2 {}^k \dot{\vec{r}}_{O_{k+1}/O_k} + {}^k \vec{\omega}_k \times {}^k \vec{r}_{O_{k+1}/O_k} \right) \right) \end{aligned} \quad (29)$$

$$\dot{\vec{\omega}}_{s,i} = \sum_{k=1}^i {}^i R_k {}^k \vec{z}_k \dot{q}_k \quad (30)$$

$$\dot{\vec{\omega}}_{v,i} = \sum_{k=1}^{i-1} {}^i R_k {}^k \vec{\omega}_k \times {}^i R_{k+1} {}^{k+1} \vec{z}_{k+1} \dot{q}_{k+1} \quad (31)$$

که در آن ${}^k \vec{r}_{O_{k+1}/O_k}$ بردار موقعیت مبدأ دستگاه مختصات $(k+1)$ امین نسبت به مبدأ O_k می‌باشد. این ترم به شکل زیر ارائه می‌شود:

$${}^k \vec{r}_{O_{k+1}/O_k} = l_k {}^k \vec{x}_k \quad (32)$$

همچنین ${}^k \dot{\vec{r}}_{O_{k+1}/O_k}$ و ${}^k \ddot{\vec{r}}_{O_{k+1}/O_k}$ به ترتیب سرعت و شتاب O_{k+1} نسبت به مبدأ دستگاه مختصات k ام می‌باشند. این دو جمله نیز به صورت زیر ارائه می‌شوند:

$${}^k \dot{\vec{r}}_{O_{k+1}/O_k} = \dot{\eta}_k {}^k \vec{x}_k \quad (33)$$

$${}^k \ddot{\vec{r}}_{O_{k+1}/O_k} = \ddot{\eta}_k {}^k \vec{x}_k \quad (34)$$

اکنون مشتقات جزئی $\ddot{\vec{r}}_O$ و $\dot{\vec{\omega}}_i$ نسبت به شبه شتابها به طریق زیر ارائه می‌شود:

$$\frac{\partial^i \dot{\vec{\omega}}_i}{\partial \ddot{q}_j} = {}^i R_j {}^j \vec{z}_j \quad (35)$$

$$\frac{\partial^i \ddot{\vec{r}}_O}{\partial \ddot{q}_j} = {}^i R_j {}^j \vec{z}_j \times {}^i \vec{r}_{O_i/O_j} \quad (36)$$

$$\frac{\partial^i \ddot{\vec{r}}_O}{\partial \ddot{\eta}_j} = {}^i R_j {}^j \vec{x}_j \quad (37)$$

۱-۵- ماتریس اینرسی

برای استخراج ضرایب ماتریس اینرسی، بایستی مشتقات جزئی $\ddot{\vec{r}}_O$ و $\dot{\vec{\omega}}_i$ نسبت به شبه شتابها (معادلات (۳۵-۳۷)) و همچنین آن بخش از $\ddot{\vec{r}}_O$ و $\dot{\vec{\omega}}_i$ که حاوی شبه شتابها

(موقعیت، سرعت و شتاب) گشتاور و نیروهای اعمالی به مفاصل به راحتی بدست خواهد آمد. از سوی دیگر، مسئله دینامیک مستقیم شتاب مفاصل منیپولاتور را زمانی که گشتاور اعمالی به مفاصل داده شده باشد، محاسبه می‌کند. این مسئله قسمتی از فرآیندی است که بایستی برای شبیه‌سازی رفتار دینامیکی منیپولاتور دنبال شود. این فرآیند بعد از اینکه سرعت و موقعیت مفاصل را به وسیله یک روش انتگرال‌گیری عددی محاسبه نمودیم، کامل می‌شود.

۵- معادلات دینامیک مستقیم

هدف این بخش ارائه معادلات دینامیک مستقیم سیستم رباتیکی مورد بحث می‌باشد. در این نوع دینامیک، بهتر است که مشتق زمانی شبه سرعت‌ها در سمت چپ معادلات به صورت مجهول و دیگر وجوده دینامیکی باقی‌مانده و ورودی‌ها، در سمت راست معادلات باشند:

$$I(\Theta, \dot{\Theta}) \ddot{\Theta} = \overrightarrow{Re} \quad (23)$$

که در آن $I(\Theta, \dot{\Theta})$ ماتریس اینرسی کل سیستم، $\ddot{\Theta}$ بردار مربوط به شبه شتابها و \overrightarrow{Re} بردار حاوی ترم‌های گرانش، کوریولیس، نیروهای جانب مرکز و همچنین نیروها و گشتاورهای اعمالی به مفاصل دورانی-کشوبی سیستم رباتیکی می‌باشند. این دو بردار به شکل زیر ارائه می‌شوند:

$$\ddot{\Theta} = \begin{Bmatrix} \ddot{q}_1 & \ddot{q}_2 & \dots & \ddot{q}_j & \dots & \ddot{q}_n \\ \ddot{\eta}_1 & \ddot{\eta}_2 & \dots & \ddot{\eta}_j & \dots & \ddot{\eta}_n \end{Bmatrix}^T \quad (24)$$

$$\overrightarrow{Re} = \begin{Bmatrix} Re_{q_1} & Re_{q_2} & \dots & Re_{q_j} & \dots & Re_{q_n} \\ Re_{\eta_1} & Re_{\eta_2} & \dots & Re_{\eta_j} & \dots & Re_{\eta_n} \end{Bmatrix}^T \quad (25)$$

که در آن Re_{q_j} ، Re_{η_j} به ترتیب از کنار گذاشتن تمامی ترم‌هایی که در معادلات (۲۱) و (۲۲) حاوی شبه‌شتابها می‌باشند، بدست خواهد آمد.

به منظور تحقق هدف این بخش، در ابتدا لازم است فرم مجموع عبارات $\ddot{\vec{r}}_O$ و $\dot{\vec{\omega}}_i$ ارائه شود. با در اختیار داشتن این جملات به صورت مجموع، امکان محاسبه مشتقات جزئی $\ddot{\vec{r}}_O$ و $\dot{\vec{\omega}}_i$ نسبت به \ddot{q}_j و $\ddot{\eta}_j$ که در معادلات (۱۸) و (۱۹) دیده می‌شوند، میسر می‌گردد. این دو جمله به صورت زیر ارائه می‌شوند:

$$\ddot{\vec{r}}_O = \ddot{\vec{r}}_{O_{s,i}} + \ddot{\vec{r}}_{O_{v,i}} \quad (26)$$

$$\dot{\vec{\omega}}_i = \dot{\vec{\omega}}_{s,i} + \dot{\vec{\omega}}_{v,i} \quad (27)$$

کشویی (معادله (۲۲)) ضریب \ddot{q}_j دقیقاً با ضریب $\ddot{\eta}_j$ در معادله مربوط به زامین مفصل دورانی برابر خواهد بود. اما ضریب دیگر متغیر شبه شتاب یعنی $\ddot{\eta}_k$ به صورت زیر ارائه می‌شود.

$$\left(\sum_{k=1}^{n-1} {}^j \vec{x}_j^T \cdot {}^j \lambda_k {}^k \vec{x}_k + \sum_{k=j+1}^n {}^j \vec{x}_j^T \cdot {}^j R_k B_{0k} {}^k \vec{x}_k + \sum_{k=1}^{j-1} {}^j \vec{x}_j^T \cdot {}^j R_k B_{0j} {}^k \vec{x}_k + B_{0k} \right) \ddot{\eta}_k \quad (\text{II})$$

که در آن:

$${}^j \lambda_k = \sum_{i=\max(k+1, j+1)}^n {}^j B_{0i} {}^j R_k \quad (43)$$

در رابطه (۴۴) آن بخش از ماتریس اینرسی کل سیستم که توسط عبارت (II) ایجاد می‌شود، با نشان \oplus مشخص شده است.

$$I(\Theta, \dot{\Theta}) = \begin{bmatrix} \otimes & \dots & \otimes & \otimes & \dots & \otimes \\ & \vdots & & \vdots & & \vdots \\ & & \otimes & \otimes & \dots & \otimes \\ & & & \oplus & \dots & \oplus \\ I(\Theta, \dot{\Theta}) & Sym & & \vdots & & \vdots \\ & & & & & \oplus \end{bmatrix} \quad (44)$$

۵-۲- بردار ترم‌های دینامیکی باقیمانده و نیروهای خارجی
در این بخش سمت راست معادلات حرکت به صورت بازگشتی ارائه خواهد شد. بهمنظور تحقق این هدف، در معادلات دینامیکی مفاصل دورانی، تمامی ترم‌هایی که شامل \ddot{q}_j و $\ddot{\eta}_j$ نمی‌شوند، به سمت راست معادلات حرکت انتقال می‌یابند.

$$Re_{q_j} = \tau_j - \sum_{i=j+1}^n \frac{\partial {}^i \vec{r}_{O_i}^T}{\partial \ddot{q}_j} \cdot {}^i \vec{S}_i - \sum_{i=j}^{n-1} \frac{\partial {}^i \vec{\omega}_i^T}{\partial \ddot{q}_j} \cdot {}^i \vec{T}_i \quad (45)$$

که در آن:

$${}^i \vec{S}_i = B_{0i} {}^i \vec{r}_{O_{v,i}}^T - 2B_{2i} {}^i \vec{\omega}_i - B_{3i} {}^i \vec{\dot{\omega}}_{v,i} - {}^i \vec{\omega}_i B_{3i} {}^i \vec{\omega}_i \quad (46)$$

$${}^i \vec{T}_i = B_{3i} {}^i \vec{r}_{O_{v,i}}^T + 2B_{6i} {}^i \vec{\omega}_i + (B_{7i} + B_{8i}) {}^i \vec{\dot{\omega}}_{v,i} + {}^i \vec{\omega}_i B_{7i} {}^i \vec{\omega}_i \quad (47)$$

با جایگذاری معادلات (۳۵-۳۶) در رابطه (۴۵) و تبدیل آن به یک رابطه بازنگشتی نتیجه زیر حاصل می‌شود:

$$Re_{q_j} = \tau_j - {}^j \vec{z}_j^T \cdot {}^j \vec{\chi}_j \quad (48)$$

که در آن:

$${}^j \vec{\chi}_j = {}^j \vec{T}_j + {}^j \vec{r}_{O_{j+1}/O_j} {}^j \vec{\phi}_j + {}^j R_{j+1} {}^{j+1} \vec{\chi}_{j+1} \quad (49)$$

$${}^j \vec{\phi}_j = {}^j R_{j+1} \left({}^{j+1} \vec{S}_{j+1} + {}^{j+1} \vec{\phi}_{j+1} \right) \quad (50)$$

اکنون عبارتی برای Re_{η_j} ارائه می‌شود. در معادلات دینامیکی مربوط به مفاصل کشویی، اگر تمامی جملاتی که

می‌باشند، (معادلات (۲۸) و (۳۰)) در معادلات دینامیکی حرکت (معادلات (۲۱-۲۲)) جایگذاری شوند. سپس با دسته‌بندی کردن تمامی جملاتی که شامل \ddot{q}_k و $\ddot{\eta}_k$ می‌شوند و با انتقال آنها به سمت چپ معادلات حرکت و نوشتن آنها به فرم ماتریسی، ماتریس اینرسی کل سیستم حاصل خواهد شد. جزئیات توضیحات بالا در ادامه می‌آید.

۵-۱-۱- ضرایب شبه شتاب‌ها در معادلات دینامیکی مفاصل دورانی

در زامین معادله دینامیکی مفاصل دورانی (معادله (۲۱)), تمامی جملاتی که \ddot{q}_k و $\ddot{\eta}_k$ را به عنوان شبه شتاب دارا می‌باشند؛ به فرم زیر دسته‌بندی می‌شوند.

$$\left(\sum_{k=1}^n {}^j \vec{z}_j^T \cdot \left({}^j \sigma_k - {}^j \psi_k \right)^k \vec{z}_k - \sum_{k=1}^{n-1} {}^j \vec{z}_j^T \cdot {}^j U_k {}^k \vec{z}_k \right) \ddot{q}_k + \left(\sum_{k=1}^{n-1} {}^j \vec{z}_j^T \cdot \left({}^j \xi_{k^+} + {}^j \gamma_k \right)^k \vec{x}_k + \sum_{k=j+1}^n {}^j \vec{z}_j^T \cdot {}^j \tilde{r}_{O_k/O_j} {}^j R_k B_{0k} {}^k \vec{x}_k \right) \ddot{\eta}_k \quad (\text{I})$$

که در آن:

$${}^j \sigma_k = \sum_{i=\max(k, j)}^n {}^j R_i (B_{7i} + B_{8i}) {}^j R_k \quad (48)$$

$${}^j \psi_k = \sum_{i=\max(k, j+1)}^n {}^j \tilde{r}_{O_i/O_j} {}^j R_i B_{3i} {}^i R_k \quad (49)$$

$${}^j U_k = \sum_{t=k}^{n-1} \left({}^j \gamma_t + {}^j \xi_{t^+} \right) {}^t \tilde{r}_{O_{t+1}/O_t} {}^t R_k \quad (40)$$

$${}^j \gamma_k = \sum_{i=\max(k+1, j+1)}^n {}^j \tilde{r}_{O_i/O_j} {}^j R_k B_{0i} {}^i R_k \quad (41)$$

$${}^j \xi_{k^+} = \sum_{i=\max(k+1, j)}^n {}^j R_i B_{3i} {}^i R_k \quad (42)$$

در ادامه، آن بخش از ماتریس اینرسی کل سیستم که توسط عبارت (I) ایجاد می‌شود، با نشان \otimes مشخص خواهد شد. ماتریس اینرسی کل سیستم یک ماتریس متقاضان مثبت معین می‌باشد. از خاصیت مذکور برای افزایش سرعت ایجاد ماتریس اینرسی سیستم استفاده خواهد شد.

۵-۲-۱- ضرایب شبه شتاب‌ها در معادلات دینامیکی مفاصل کشویی

همان‌گونه که پیشتر نیز اشاره شد، ماتریس اینرسی کل سیستم یک ماتریس متقاضان است. بنابراین در زامین معادله مफصل


```

if ( $j \neq n$ )            $I_{j+n \ j+n} = {}^j\vec{x}_j^T \cdot {}^j\lambda_j {}^j\vec{x}_j + B_{0j};$ 
else                    $I_{2n \ 2n} = B_{0n};$ 
for  $j = 1:1:n-1; k = j+1:1:n$ 
if ( $k \neq n$ )            $I_{j+n \ k+n} = {}^j\vec{x}_j^T \cdot {}^j\lambda_k {}^k\vec{x}_k + {}^j\vec{x}_j^T \cdot {}^jR_k B_{0k} {}^k\vec{x}_k;$ 
else                    $I_{j+n \ 2n} = {}^j\vec{x}_j^T \cdot {}^jR_n B_{0n} {}^n\vec{x}_n;$ 
تعداد عملیات ریاضی مورد نیاز برای تولید معادلات حرکت
سیستم مذکور عبارت است از:
تعداد جمع‌ها           $157n^2 - 168n + 92$ 
تعداد ضرب‌ها          $197n^2 - 265n + 109$ 
که در آن  $n$  تعداد کل لینک‌ها می‌باشد.

```

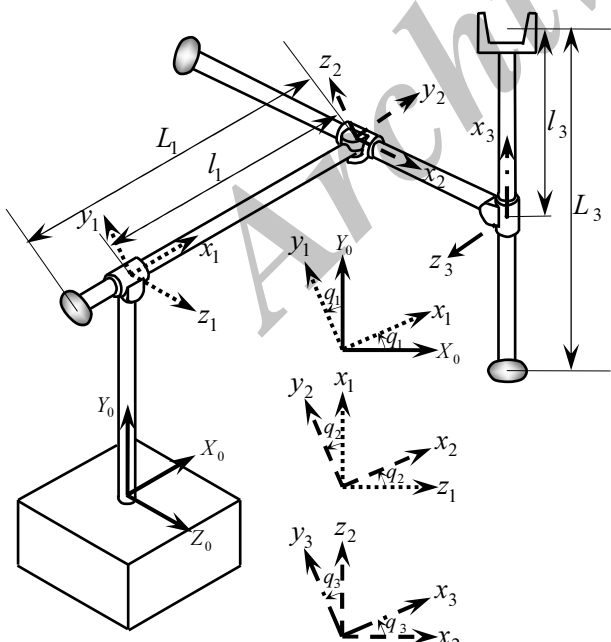
۷- شبیه‌سازی عددی

در این قسمت نتایج شبیه‌سازی برای یک ربات با لینک صلب که دارای سه مفصل دورانی-کشویی می‌باشد، ارائه می‌شود.

شکل ۲ ربات مورد نظر را نشان می‌دهد.

تمامی پارامترهای مورد نیاز برای شبیه‌سازی در جدول ۱ ارائه شده است. در جدول ۱، I همان ماتریس یکه می‌باشد. با بازنویسی مجدد معادله (۲۳) به صورت زیر:

$$\ddot{\Theta} = I^{-1}(\Theta, \dot{\Theta}) \text{Re} \quad (23)$$

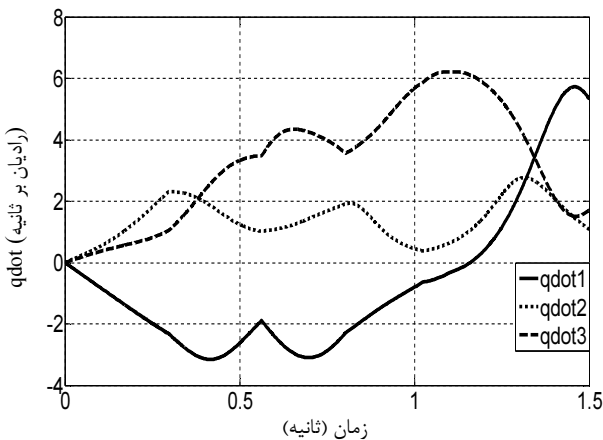


شکل ۲ ربات با سه مفصل دورانی-کشویی

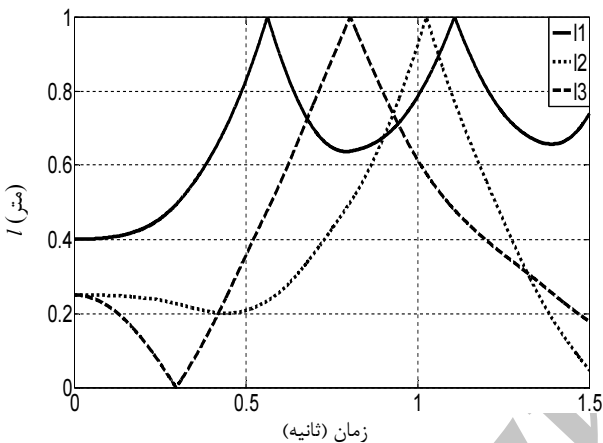
```

 ${}^j\lambda_k$  محاسبه •
for  $k = n-1:-1:1; j = k:-1:1$ 
if ( $k = j$ )
if ( $k = n-1$ )  ${}^{n-1}\lambda_{n-1} = B_{0n} I_{3 \times 3};$ 
else  ${}^k\lambda_k = B_{0k+1} I_{3 \times 3} + {}^{k+1}\lambda_{k+1};$ 
else  ${}^j\lambda_k = {}^jR_{j+1} {}^{j+1}\lambda_k; \quad \& \quad {}^k\lambda_j = {}^j\lambda_k^T;$ 
 ${}^j\gamma_k$  محاسبه •
for  $j = n-1:-1:1$ 
 ${}^j\gamma_{n-1} = {}^j\tilde{r}_{O_n/O_j} {}^j\lambda_{n-1};$ 
for  $j = n-1:-1:1; k = n-2:-1:1$ 
if ( $k < j$ )  ${}^j\gamma_k = {}^j\gamma_{k+1} {}^{k+1}R_k;$ 
else  ${}^j\gamma_k = {}^j\gamma_{k+1} {}^{k+1}R_k + B_{0k+1} {}^j\tilde{r}_{O_{k+1}/O_j} {}^jR_k;$ 
 ${}^j\xi_{k^+}$  محاسبه •
for  $j = 1:1:n; k = 1:1:n-1$ 
 ${}^j\xi_{k^+} = {}^j\xi_{k+1} {}^{k+1}R_k;$ 
 ${}^jU_k$  محاسبه •
for  $j = 1:1:n$ 
 ${}^jU_{n-1} = \left( {}^j\gamma_{n-1} + {}^j\xi_{n-1} \right) {}^{n-1}\tilde{r}_{O_n/O_{n-1}};$ 
for  $j = 1:1:n; k = n-2:-1:1$ 
 ${}^jU_k = \left( {}^j\gamma_k + {}^j\xi_{k^+} \right) {}^k\tilde{r}_{O_{k+1}/O_k} + {}^jU_{k+1} {}^{k+1}R_k;$ 
مرحله ۶: اس梅بل کردن ماتریس اینرسی کل سیستم
for  $j = 1:1:n; k = j:1:n$ 
if ( $k \neq n$ )  $I_{j \ k} = {}^j\vec{z}_j^T \cdot \left( {}^j\sigma_k - {}^j\psi_k - {}^jU_k \right) {}^k\vec{z}_k;$ 
elseif ( $k = n$ ) & ( $j \neq n$ )  $I_{j \ n} = {}^j\vec{z}_j^T \cdot \left( {}^j\sigma_n - {}^j\psi_n \right) {}^n\vec{z}_n;$ 
else  $I_{n \ n} = {}^n\vec{z}_n^T \cdot {}^n\sigma_n {}^n\vec{z}_n;$ 
for  $j = 1:1:n-1; k = 1:1:j$ 
 $I_{j \ n+k} = {}^j\vec{z}_j^T \cdot \left( {}^j\xi_{k^+} + {}^j\gamma_k \right) {}^k\vec{x}_k;$ 
for  $k = 1:1:n$ 
if ( $k \neq n$ )  $I_{n \ n+k} = {}^n\vec{z}_n^T \cdot {}^n\xi_{k^+} {}^k\vec{x}_k;$ 
else  $I_{n \ 2n} = 0;$ 
for  $j = 1:1:n-1; k = j+1:1:n$ 
 $I_{j \ n+k} = {}^j\vec{z}_j^T \cdot \left( {}^j\xi_{k^+} + {}^j\gamma_k \right) {}^k\vec{x}_k$ 
if ( $k \neq n$ )  $+ {}^j\vec{z}_j^T \cdot {}^j\tilde{r}_{O_k/O_j} {}^jR_k B_{0k} {}^k\vec{x}_k;$ 
else  $I_{j \ 2n} = {}^j\vec{z}_j^T \cdot {}^j\tilde{r}_{O_n/O_j} {}^jR_n B_{0n} {}^n\vec{x}_n;$ 
for  $j = 1:1:n$ 

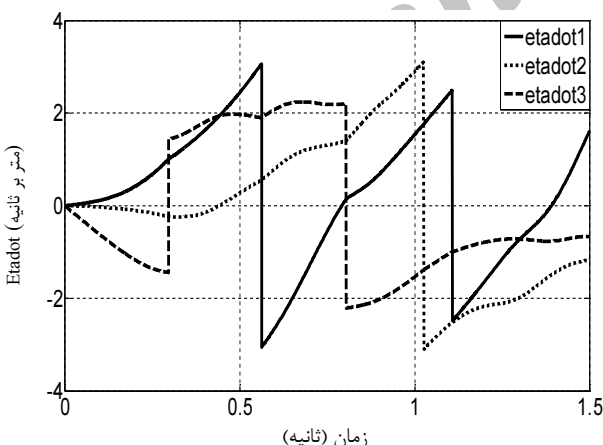
```



شکل ۴ سرعت زاویه‌ای بازوها



شکل ۵ موقعیت طولی لینکها



شکل ۶ سرعت طولی لینکها

زمان مورد نیاز برای مدت زمان شبیه‌سازی $1/5\text{s}$ که توسط کامپیوتری با مشخصات (@) Duo Processor E7500 2 Intel® Core™ 3GHz انجام شده است، $38/23\text{s}$ می‌باشد. این

و تبدیل معادله (۵۳) به فرم فضای حالت، داریم:

$$\dot{X}_1 = X_2 \quad (54)$$

$$\dot{X}_2 = I^{-1}(X_1, X_2)\vec{\text{Re}} \quad (55)$$

همچنین تمامی شرایط اولیه برای شبیه‌سازی به صورت زیر فرض شده است.

$$q_1 = \dot{q}_1 = q_2 = \dot{q}_2 = q_3 = \dot{q}_3 = \ddot{q}_1 = \ddot{q}_2 = \ddot{q}_3 \Big|_{t=0} = 0$$

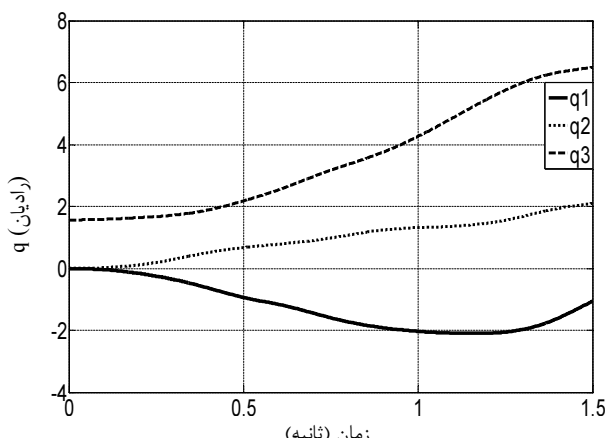
$$q_3 \Big|_{t=0} = \frac{\pi}{2}, l_1 \Big|_{t=0} = 0.4, l_2 \Big|_{t=0} = 0.25, l_3 \Big|_{t=0} = 0.25$$

برای حل دستگاه معادلات دیفرانسیلی، از روش رانگ-کوتا استفاده می‌شود. با حل این دستگاه معادلات دیفرانسیلی، پاسخ زمانی سیستم بدست می‌آید (شکل‌های ۶-۳).

همان‌گونه که در نتایج شبیه‌سازی دینامیکی دیده می‌شود، یک قید برای حرکت لینک‌ها در نظر گرفته شده است. اگر این قید در نظر گرفته نشود، آنگاه ممکن است که در شبیه‌سازی با مواردی چون ($l_i > L_i$ یا $l_i < 0$) برخورد نماییم که از لحظه فیزیکی بی‌معنا است. بهمنظور بررسی کارآیی الگوریتم بازگشتی پیشنهادی، زمان مورد نیاز برای استخراج معادلات حرکت و حل آنها برای سیستم نشان داده شده، باید ارائه شود.

جدول ۱ پارامترهای مورد نیاز برای شبیه‌سازی

پارامتر	مقدار	واحد
m	1	$L_1 = L_2 = L_3$
kg.m^{-1}	2	$\mu_1 = \mu_2 = \mu_3$
kg.m	$I \times 0.0008$	$J_1 = J_2 = J_3$
m.s^{-2}	10	g
N.m	1	$\tau_1; \tau_2; \tau_3$
N	1	$F_1; F_2; F_3$



شکل ۳ موقعیت زاویه‌ای بازوها

- Journal of Robotics Research*, Vol. 2, No. 3, 1983, pp. 3-21.
- [4] Angeles J., Ma O. and Rojas A., "An Algorithm for the Inverse Dynamics of N-Axis General Manipulators Using Kane's Equations", *Computers and Mathematics with Applications*, Vol. 17, No. 2, 1989, pp. 1545-1561.
- [5] Baruh H., *Analytical Dynamics*, New York, McGraw-Hill, 1998.
- [6] Vukobratovic M., Potkonjak V., "Applied Dynamics and CAD of Manipulation Robots", *Springer-Verlag*, Berlin, 1985.
- [7] Desoyer K., Lugner P., "Recursive Formulation for the Analytical or Numerical Application of the Gibbs-Appell Method to the Dynamics of Robots", *Robotica*, Vol. 7, No. 4, 1989, pp. 343-347.
- [8] Vereshchagin A. F., "Computer Simulation of the Dynamics of Complicated Mechanisms of Robotic Manipulators", *Eng. Cyber*, Vol. 6, 1974, pp. 65-70.
- [9] Rudas I. and Toth A., "Efficient recursive algorithm for inverse dynamics", *Mechatronics*, Vol. 3, No. 2, 1993, pp. 205-214.
- [10] Mata V., Provenzano S., Valero F. and Cuadrado J. I., "Serial-Robot Dynamics Algorithms for Moderately Large Number of Joints", *Mechanism and Machine Theory*, Vol. 37, No. 8, 2002, pp. 739-755.
- [11] Vossoughi G., Pendar H., Heidari Z. and Mohammadi S., "Assisted Passive Snake-Like Robots: Conception and Dynamic Modeling Using Gibbs-Appell Method", *Robotica*, Vol. 26, No. 3, 2008, pp. 267-276.
- [12] Korayem M. H. and Shafei A. M., "Inverse Dynamic Equation of Motion for Flexible Link Manipulators Using Recursive Gibbs-Appell Formulation", *IEEE International Conference on Robotics and Biomimetics*, December 15-18, 2007, pp. 2160-2165.
- [13] Korayem M. H. and Shafei A. M., "Motion Equations Proper for Forward Dynamic of Robotic Manipulators with Flexible Links by Using Recursive Gibbs-Appell Formulation", *Scientia Iranica Transaction B-mechanical engineering*, Vol. 16, No. 6, 2009, pp. 479-495.
- [14] Emami M., Zohoor H. and Sohrabpour S., "Solving high Order Nonholonomic Systems Using Gibbs-Appell Method", *BSG Proceedings 16. The Int. Conf. of Diff. Geom. and Dynamical System*, Mangalia, Romania, September 2008.
- [15] Khadem S. E. and Pirmohammadi A. A., "Analytical Development of Dynamic Equations of Motion for a Three-Dimensional Flexible Link Manipulator with Revolute and Prismatic Joints", *IEEE Transactions on Systems, Man, and Cybernetics*, Vol. 33, No. 2, 2003, pp. 237-24.

زمان با استفاده از دستور تیک و تاک نرمافزار متلب که به ابتدا و انتهای برنامه افزوده شده است، بدست آمده است.

۸- نتیجه‌گیری

در این مقاله یک روش خودکار و سیستماتیک برای استخراج معادلات حرکت ربات با n لینک صلب که دارای مفاصل دورانی-کشویی می‌باشند، ارائه شد. روش به کار گرفته شده در این تحقیق بر پایه فرمولاسیون گیبس-اپل استوار می‌باشد. از روش مذکور برای طراحی سیستم کنترل و شبیه‌سازی معادلات حرکت می‌توان استفاده کرد. از مزایای عمدۀ این روش می‌توان به موارد زیر اشاره کرد.

✓ کاهش حجم محاسبات نسبت به حالت غیر بازگشتی که این امر منجر به صرف زمان کمتری برای بررسی رفتار دینامیکی سیستم می‌شود.

✓ استفاده از ماتریس‌های 3×3 و 3×1 در الگوریتم ارائه شده که نسبت به ماتریس 4×4 و 4×1 پیچیدگی محاسباتی کمتری دارد.

✓ استفاده آسان‌تر این روش نسبت به روش لاغرانژ، زیرا از مشتقات جزئی کمتری نسبت به آن روش برخوردار است. از کاربردهای مهم روش گیبس-اپل در استخراج معادلات حرکت ربات با قیود غیرهولونومیک می‌باشد. بنابراین به عنوان کارهای آینده می‌توان این‌گونه از ربات‌ها را مورد تحلیل دینامیکی قرار داد. همچنین می‌توان از الگوریتمی شبیه به آنچه که در این اینجا استفاده شد؛ برای بررسی منیپولاتورها با پایه متحرک (که دارای قیود غیر هولونومیک می‌باشند) استفاده نمود.

۹- مراجع

- [1] Luh J. Y. S., Walker M. W. and Paul R. P., "On-Line Computational Scheme for Mechanical Manipulators", *Journal of Dynamic Systems, Measurement and Control, Transactions of the ASME*, Vol. 102, No. 2, 1980, pp. 69-79.
- [2] Hollerbach J.M., "A Recursive Lagrangian Formulation of Manipulator Dynamics Formulation and a Comparative Study of Dynamics Formulation Complexity", *IEEE Transactions on Systems, Man and Cybernetics*, Vol. 10, No. 11, 1980, pp. 730-736.
- [3] Kane T. and Levinson D., "The Use of Kane's Dynamical Equations in Robotics", *International*